

2. Павлов А.И. Современная теория зубчатых зацеплений. – Харьков: ХНАДУ, 2005. – 100с.  
 3. Андриенко С.В., Вальнюк Т.Н., Павлов А.И. Сравнение характеристик зубчатых передач с выпукло-вогнутым контактом // Труды международной конференции "Micro-CAD-98" – Харьков, 1998. – С.17-19. 4. Кириченко А.Ф., Андриенко С.В., Медведев Д.В., Павлов А.И. Контроль точности изготовления зубчатых передач ВВК // Вестник ХГПУ. – Вып.100. – Харьков. – 2000. – С.108-110. 5. Павлов А.И., Андриенко С.В. Построение рабочей поверхности зубьев звездочки цепной передачи // Вестник Харьковского национального университета "ХПИ". – Вып.8, т. 3. – Харьков. – 2003. – С. 43.

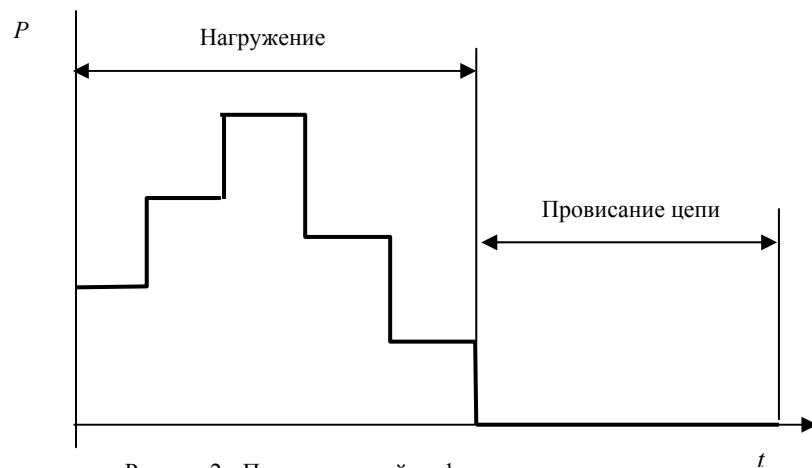


Рисунок 2 – Предполагаемый график нагрузки на звенья цепи

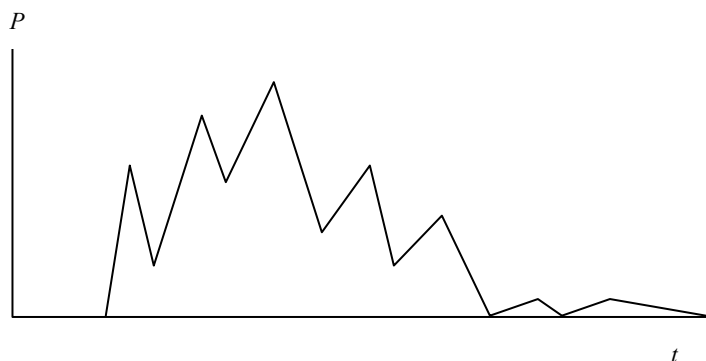


Рисунок 3 – Предполагаемый график измерений нагрузки на звенья цепи

Поступила в редколлегию 22.05.09

УДК 621.01; 621.833; 621.852

**Д.Т. БАБИЧЕВ**, д.т.н., профессор каф. "Детали машин" ТюмГНГУ  
**Д.А. БАБИЧЕВ**, аспирант каф. МСП ТюмГНГУ (Нефтегазовый университет)  
**Д.Н. ПАНКОВ**, ассистент каф. "Детали машин" ТюмГНГУ

## АНАЛИЗ ФОРМООБРАЗОВАНИЯ ЗУБЬЕВ МЕТОДАМИ ОГИБАНИЯ ИЗЛОМАМИ НА ПРОИЗВОДЯЩИХ ПОВЕРХНОСТЯХ И ЛИНИЯХ

Відзначається, що на профілях і на поверхнях тел зустрічається три види зламів. Їм відповідає три геометричних образів: клин, в'яло і пучок нормалей, які в геометрії та у класичній теорії зачеплення до авторів не використовувалися. Показана корисність цих образів при аналізі процесів формоутворення. Для всіх видів зламів наведені алгоритми для знаходження формообразуючих точок і контактних нормалей в них.

Noticed, that there are three kinds of fractures on cogs profiles and surfaces. And there are three geometrical forms equal with it: wadge, fan and normal bunch, which were not been used in geometry and classical gearing theory by other authors. The useness of that profiles for form-creation processes analyzing is established. Algorithms for form-creating points and normal contacts definition are described.

### Методы анализа формообразования и изломы поверхностей и линий.

Научная основа проектирования передач и зубообрабатывающих инструментов – теория зубчатых зацеплений (ТЗЗ). Ее главный объект исследования – поверхности, формируемые методами огибания, т.е. при сложных относительных движениях звеньев в передачах и в станочных зацеплениях. В ТЗЗ есть две группы методов анализа процессов такого формообразования: дифференциальные и недифференциальные. Основа дифференциальных методов [1-6] – теория огибающих. В кинематической трактовке при этом на производящей поверхности находят точки, в которых вектор относительной скорости  $\mathbf{V}_{12}$  перпендикулярен вектору нормали  $\mathbf{n}$  к производящей поверхности, т.е. те, где уравнение зацепления  $\mathbf{V}_{12} \cdot \mathbf{n} = 0$ . Основа недифференциальных методов [6,7] – непосредственное отслеживание во времени положения производящего элемента относительно звена, на котором формируется поверхность. И отбор точек, внедрившихся в тело заготовки глубже ранее сформированной поверхности обрабатываемой детали. Дифференциальные методы требуют меньшего объема вычислений и позволяют определять кривизну. Но когда на производящем элементе встречаются особые точки (например, угловая точка в месте пересечения боковой и вершинной режущих кромок), то по всем канонам дифференциальной геометрии в такой особой точке нельзя найти касательную и нормаль к линии или к поверхности. Из этого делают вывод (см. например [6, стр. 464 и рис. 14.21]), что для особых точек производящего элемента огибающая вообще не существует, и ту часть реальной поверхности на изделии, которая формируется особыми точками, дифференциальными методами в принципе нельзя найти.

Ещё один недостаток дифференциальных методов в том, что он даёт не реальную поверхность, формируемую на изделии, а некую абстрактную "тонкую плёнку", которая может и самопересекаться, и располагаться внутри тела производящего элемента. Считается также, что дифференциальные методы не позволяют выявить срезы на формируемом зубе, которые могут появляться при подводе-отводе инструмента. Поэтому, дифференциальные методы считают менее надёжными и их последнее время вытесняют недифференциальные. Актуальная проблема ТЗЗ – создание методов анализа формообразования с надёжностью недифференциальных и достоинствами дифференциальных. Мы полагаем, что кинематический метод исследования формообразования, относящийся к дифференциальным, может достичь надёжности недифференциальных методов, если рассматривать формообразование изломами и применять многопараметрические огибания [8-9].

На рисунке 1, взятом из [8], как иллюстрация к сказанному, приведены результаты анализа формообразования эвольвентного зуба двумя методами. "Нарезалось" колесо с внутренними зубьями ( $z_2=20$ ) долбяком ( $z_0=15$ ,  $m=5$ ). При этом главный профиль 1 и линии возможного среза в зоне вторичного резания (линии 2), найденные кинематическим методом с использованием изломов профиля долбяка на вершине его зуба, есть огибающие однопараметрического семейства профилей долбяка. Профили 3 – линии максимального среза при подводе-отводе инструмента, являющиеся огибающими двухпараметрического семейства.

На рисунке 1б – "тёмный лес", в котором практически невозможно разглядеть все линии, изображенные на рисунке 1а. Но зато чётко выделяется

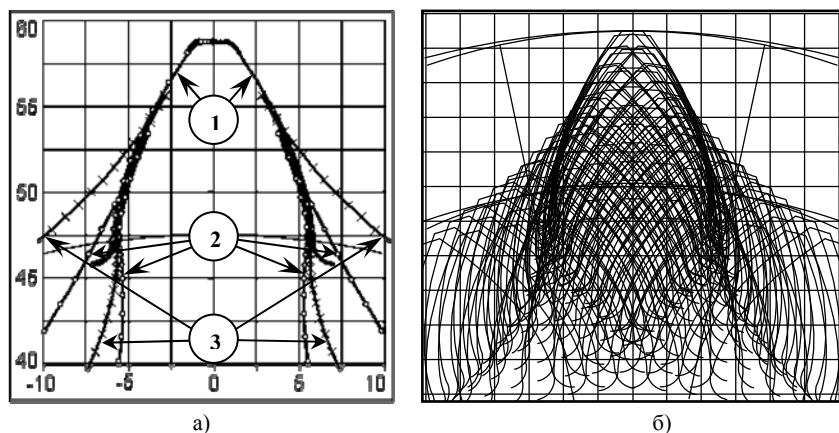


Рисунок 1 – Два метода анализа процесса формообразования:

- а) дифференциальный (кинематический) метод; б) не дифференциальный метод  
1 – главный профиль, 2 – срезы в зоне вторичного резания (формируются изломами),  
3 – срезы от подвода-отвода инструмента (огигающая двухпараметрического семейства)

"граница леса" – тот профиль, который будет получен на изделии в конце зубообработки.

На рисунке 2, взятом также из [8], показаны линии зацепления. Их три и все они замкнуты. Линия зацепления 1 порождает замкнутый главный профиль 1 зубчатого венца. (На рисунке 1а показан лишь главный профиль 1 одного зуба, полученный при однократном "пробеге" контактных формообразующих точек по замкнутой линии зацепления 1 на рисунке 2а). Линия зацепления 2 порождает замкнутый профиль 2, состоящий из эвольвентных участков (левого и правого) и отрезков гипоциклоидного вида, связывающих эвольвентные. При этом связываются профили не соседних зубьев. Линии зацепления 3 порождают два замкнутых профиля 3 (левый и правый); на каждом из них по два эвольвентных участка и по два отрезка гипоциклоидного вида, объединяющих эвольвенты на не соседних зубьях.

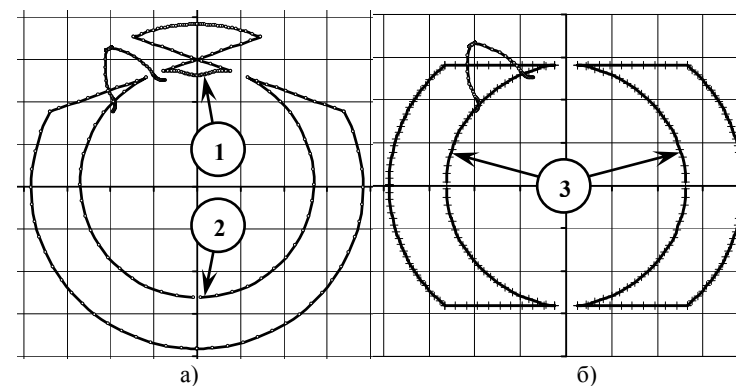


Рисунок 2 – Линии зацепления при обработке эвольвентного колеса:

- а) однопараметрическое огибание: обкат долбяка по колесу;  
б) двухпараметрическое огибание: обкат и подвод-отвод долбяка

Замкнутость линий зацепления и формируемых профилей, а также возможность их "расщепления" находится в полном соответствии с теоремами и аксиомами формообразования, изложенными в [10, 9].

Заметим, что понятие об изломах, как специфических особенностях производящих поверхностей, идет, по всей видимости, от П.Р.Родина. В 1977 году [11, стр.52] он писал: "...поверхность детали, состоящую из ряда смежных участков, можно рассматривать как единую поверхность. Причем, точку излома профиля поверхности, расположенную на границе смежных участков, можно считать участком дуги окружности, радиус которой стремится к нулю". Но, насколько нам известно, дальнейшего развития эта идея не получила и серьезных математических моделей на ее основе не создавалось.

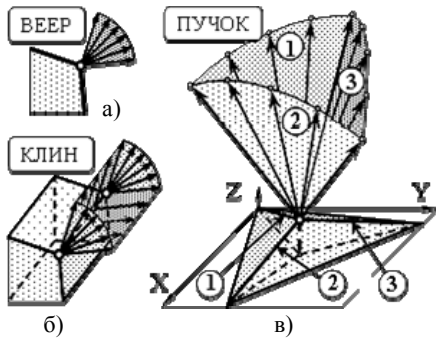


Рисунок 3 – Виды изломов и геометрические образы, порождаемые ими:

- а) плоский излом и веер нормалей  
б) кромочный излом и клин нормалей  
в) вершинный излом и пучок нормалей

поверхности общего вида. Ребро же, порождающее клин, в общем случае, есть пространственная линия.

**3. Вершинный излом** (излом поверхности тела в вершине). В изломе – пространственный пучок нормалей. Отметим два важных свойства такого излома: **а)** Вершина – всегда точка пересечения *трех* поверхностей. Четырехгранная вершина – это две совпавшие вершины двух трехгранных пирамид. А пятигранная – три совпавшие вершины также трехгранных пирамид. И так далее. **б)** Пучок нормалей всегда ограничен плоскими гранями. Для трехгранной вершины – это сектор, вырезанный из шара тремя плоскостями 1, 2, 3, проходящими через вершину и перпендикулярными "своим" трем ребрам.

Во всех пространственных зацеплениях изломы поверхностей тел – двумерные объекты, имеющие две криволинейные координаты: например,  $v$  вдоль и  $u$  поперек линии излома. Во всех плоских зацеплениях изломы профилей – одномерные объекты, имеющие одну криволинейную координату  $u$ , идущую вдоль профиля. При изменении криволинейной координаты  $u$ , декартовы координаты  $x, y, z$  точки в изломе не меняются, но становятся иными проекции  $n_x, n_y, n_z$  вектора нормали к поверхности в этой точке.

Полезность предлагаемых множеств нормалей (веер, клин и пучок) при анализе формообразования иллюстрирует рисунок 4, на котором в данном положении точка В является контактной, а точка С – нет. Классическая ТЗЗ объяснить математически причину этого не

**1. Об изломах поверхностей тел.** На рисунке 3 показаны все возможные виды изломов и геометрические образы, порождаемые ими. Имеется три вида изломов:

**1 – Плоский излом** (излом плоского профиля). В нём – плоский веер нормалей.

**2 – Кромочный излом** (излом поверхности тела по линии). В нём – пространственный клин нормалей. При неплоских пересекающихся поверхностях клин может быть достаточно сложным. Торцовые поверхности клина – всегда плоскости (не всегда параллельные); а боковые – линейчатые

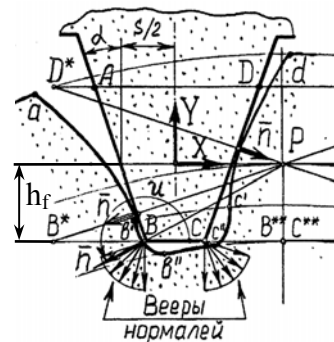


Рисунок 4 – Почему точка В контактная, а точка С – нет

может. Хотя она проста: одна из нормалей веера В проходит через полюс зацепления и здесь есть точка, в которой  $V_{12} \cdot n = 0$ , а веер в точке С такой нормали не содержит.

**2. Уравнения формообразования классической ТЗЗ.** При использовании кинематического метода классическое уравнение поверхности  $P_2$ , формируемой методом однопараметрического огибания, имеет вид:

уравнение производящей поверхности  $P_1$ :  $r_1 = r_1(u, v)$  (1а)

уравнение зацепления (скорость внедрения [2]):  $V_B = F(u, v, \varphi) = V_{12} \cdot n = 0$  (1б)

уравнение преобразования координат:  $r_2 = r_2(u, v, \varphi) = M_{21}(\varphi) \cdot r_1(u, v)$  (1в)

нормаль к поверхности  $P_2$ :  $n_2 = n_2(u, v, \varphi) = -M_{21}(\varphi) \cdot n_1(u, v)$  (1г)

нормаль к поверхности  $P_1$ :  $n_1 = n_1(u, v) = W_{НОРМ}(r_1(u, v))$  (2а)

относительная скорость:  $V_{12} = V_{12}(u, v, \varphi) = V_{12}(r_1, \varphi) = W_{СКОР}(M_{21}(\varphi), r_1(u, v))$  (2б)

Здесь:  $u, v$  – две криволинейные координаты на поверхности  $P_1$ ;  $\varphi$  – параметр огибания;  $M_{21}$  – матрица преобразования координат точек и проекций векторов из системы координат  $X_1Y_1Z_1$  в систему  $X_2Y_2Z_2$ ;  $W_{НОРМ}$  – некоторый оператор, основанный на методах дифференциальной геометрии, воздействие которого на уравнение (1а) поверхности  $P_1$  даёт уравнения для вычисления проекций вектора нормали  $n_1$  к этой поверхности  $P_1$ ;  $W_{СКОР}$  – оператор, основанный на векторных или матричных операциях, включающих, в том числе, и дифференцирование [4], который при воздействии на матрицу  $M_{21}$  и на уравнение (1а) поверхности  $P_1$  даёт уравнения для вычисления проекций вектора относительной скорости  $V_{12}$ .

Заметим, что в теории зацеплений [4, 6] принято сопряженную поверхность  $P_2$  описывать лишь уравнениями (1а)–(1в). Нам представляется запись уравнения  $P_2$  в полной и операторной форме (1)–(2), хотя и громоздкой, но более корректной. Ведь такая запись содержит все операции (включая процессы  $W_{НОРМ}$  и  $W_{СКОР}$  – хотя бы по названию, а не по содержанию), которые нужно выполнить над всеми данными и уравнениями – производящей поверхностью  $\{r_1(u, v)\}$  и движениями звеньев  $\{M_{21}(\varphi)\}$ , чтобы получить сопряженную поверхность  $\{r_2\}$ . Т.е. эта форма записи позволяет отразить в уравнениях все процессы и алгоритмы, сопутствующие формообразованию поверхностей и контакту тел.

Классическое уравнение поверхности  $P_2$ , формируемой методом двухпараметрического огибания, похоже на уравнения (1)–(2) для однопараметрического:

уравнение производящей поверхности:  $r_1 = r_1(u, v)$  (3а)

уравнения зацепления (скорости внедрения [2]): 
$$\begin{cases} V_B^{\varphi} = F_1(u, v, \varphi, S) = V_{12}^{\varphi} \cdot n = 0 \\ V_B^S = F_2(u, v, \varphi, S) = V_{12}^S \cdot n = 0 \end{cases} \quad (3б)$$



движении от начала к концу излома ( $p_T=+1$  – справа;  $p_T=-1$  – слева). 2) Размерный параметр  $u_{AB}$  – угол излома (т.к. при  $u_{AB} > 0$  – излом выпуклый, при  $u_{AB} < 0$  – вогнутый, то знак  $u_{AB}$  еще и параметр формы). 3) Параметр формы: радиус кривизны  $R=0$ . 4) параметр границы  $u_C$  – "расстояние расчетной точки С" от точки А начала излома.

Базовые параметры удобнее для вычисления: координат точек, касательных и нормалей при задании точки в изломе криволинейной координатой  $u$ . Это: **а)**  $x_C, y_C, n_{AX}, n_{AY}, n_{BX}, n_{BY}$  – координаты точки излома и проекции орта нормали в точках А и В; **б)**  $u_{AB}$  – угол излома (со знаком).

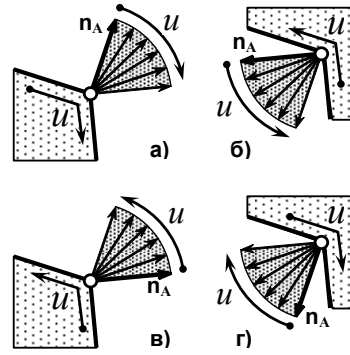


Рисунок 6 – Виды плоских изломов: **а** –  $p_T = 1, u_{BA} > 0$ ; **б** –  $p_T = 1, u_{BA} < 0$ ; **в** –  $p_T = -1, u_{BA} > 0$ ; **г** –  $p_T = -1, u_{BA} < 0$ .  $n_A$  – орт нормали в начале веера;  $u$  – направление роста криволинейной координаты

На рисунке 6 показаны четыре возможных вида плоских изломов и соответствующие этим видам сочетания признака  $p_T$  положения тела детали и знака угла излома  $u_{AB}$ . Формулы, приводимые ниже, пригодны для всех этих видов изломов.

Перерасчет единых параметров в базовые:

$$\left. \begin{aligned} p_R &= \text{if } u_{AB} < 0 \text{ then } -1 \text{ else } 1; & p_B &= -p_T \cdot p_R; & u_{\max} &= \text{abs}(u_{AB}); \\ \Psi_A &= \Psi_C - p_B \cdot u_C; & \Psi_B &= \Psi_A + p_B \cdot u_{\max}; & k &= p_R \cdot \{10^{10} \dots 10^{12}\}; \\ n_{AX} &= \cos \Psi_A, & n_{AY} &= \sin \Psi_A, & n_{BX} &= \cos \Psi_B, & n_{BY} &= \sin \Psi_B. \end{aligned} \right\} \quad (6)$$

где  $p_B$  – вспомогательный признак направления поворота нормали в веере ( $p_B = +1$  – против часовой стрелки,  $p_B = -1$  – по часовой стрелке);  $k$  – кривизна в изломе.

Вычисление параметров текущей точки, заданной криволинейной координатой  $u$ :

$$\left. \begin{aligned} u &= \text{if } u < 0 \text{ then } 0 \text{ else if } u > u_{\max} \text{ then } u_{\max} \text{ else } u; \\ \Psi &= \Psi_A + p_B \cdot u; & n_X &= \cos \Psi, & n_Y &= \sin \Psi; & c_X &= -p_T \cdot n_Y; & c_Y &= p_T \cdot n_X. \end{aligned} \right\} \quad (7)$$

Нахождение контактной (формообразующей) точки. Это возможно, если в дополнение к базовым параметрам, найден вектор  $V_{12}$  относительной скорости в изломе:

$$1. \text{ Находим нормаль } \mathbf{N} \text{ в середине излома: } N_X = n_{AX} + n_{BX}; \quad N_Y = n_{AY} + n_{BY} \quad (8)$$

2. Вычисляем скорости внедрения в начале и в конце излома:

$$\left. \begin{aligned} V_B^{\text{begin}} &= V_{12X} \cdot n_{AX} + V_{12Y} \cdot n_{AY}; \\ V_B^{\text{end}} &= V_{12X} \cdot n_{BX} + V_{12Y} \cdot n_{BY}. \end{aligned} \right\} \quad (9)$$

3. Выясняем, является ли излом формообразующим – находим признак  $p_F$  наличия в изломе формообразующей точки:

$$p_F = \text{if } V_B^{\text{begin}} \cdot V_B^{\text{end}} > 0 \text{ then } 0 \text{ else } 1. \quad (10)$$

4. Если  $p_F=1$ , то излом формообразующий и находим орт контактной нормали:

Если  $V_{12}=0$  то

формируется слепок производящего излома, т.е. обратный веер нормалей иначе

находим орт контактной нормали:

$$\left. \begin{aligned} k &= \text{Sign}(N_X \cdot V_{12Y} - N_Y \cdot V_{12X}); \\ n_X &= \frac{k \cdot V_{12Y}}{V_{12}}, & n_Y &= -\frac{k \cdot V_{12X}}{V_{12}}. \end{aligned} \right\} \quad (11)$$

а затем вычисляем и криволинейную координату  $u$  контактной точки:

$$u = \Psi - \arctg \frac{n_Y}{n_X}; \quad u = u + \text{if } u < 0 \text{ then } 2\pi \text{ else if } u > \pi \text{ then } -2\pi \text{ else } 0. \quad (12)$$

Поясним на примере, представленном на рисунке 7, что дает применение изломов. На этом рисунке для плоского зацепления показано четыре фазы взаимодействия производящего отрезка  $L_1$  (прямой с изломами по  $70^\circ$  на её концах) и сопряженного ему профиля  $L_2$ . Движения звеньев – слева направо. В фазе 1 – сопряженные профили не касаются: нет контактной нормали, поэтому отрезок  $L_1$  ещё не формообразующий. Фаза 2 – начало контакта  $L_1$  и  $L_2$ : появилась на  $L_1$  контактная нормаль, проходящая через полюс зацепления; отрезок  $L_1$  стал формообразующим. Фаза 3 – продолжается формообразование переходной кривой на  $L_2$  левым изломом. В фазе 4 – на отрезке  $L_1$  имеется сразу три формообразующих точки: каждая из них формирует свой участок на  $L_2$ ; видны три контактные нормали.

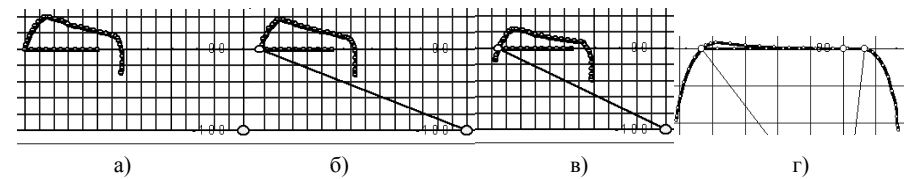


Рисунок 7 – Профилирует отрезок с изломами на концах

Удивительно, но, задав всего 6 чисел о производящем отрезке (координаты двух концов и два угла излома), получаем по основной программе со-

стыкованными все три кривые, сопряженные с отрезком. И это, не решая каких-либо дополнительных уравнений для нахождения точки сопряжения переходной кривой с основным профилем (что приходится делать при классическом подходе).

##### 5. Формообразование поверхностей кромочными изломами тел.

На рисунке 8 изображен кромочный излом поверхности тела. На смежные поверхности и излом нанесена кривая (можно принять, что это координатная  $u$ -линия). Вдоль этой линии показаны орты нормалей к поверхности. Обратим внимание на ряд обстоятельств: **а)** кривая, описываемая концом орта нормали, есть непрерывная линия, дающая щетки нормалей на поверхностях и веер нормалей в изломе; **б)** эта пространственная линия имеет изломы в местах "стыковки" веера и щеток нормалей; **в)** веер нормалей к ребру объект плоский и эта плоскость перпендикулярна к ребру. Базовые параметры ребра такие же, как у плоского излома, но с учетом трехмерности пространства. Это: **а)** векторы: точки на ребре ( $\mathbf{r}$ ), орты нормалей в начале ( $\mathbf{n}_A$ ) и в конце ( $\mathbf{n}_B$ ) излома, орт касательной ( $\mathbf{\tau}$ ) к ребру; **б)** максимальная криволинейная координата ( $u_{\max}$ ), кривизна ( $k$ ) в изломе; **в)** признак  $p_R$  выпуклости излома.

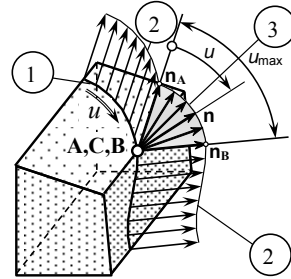


Рисунок 8 – Параметры кромочного излома:  
1 –  $u$ -линия; 2 – щетки нормалей; 3 – веер нормалей;  $\mathbf{n}_A$ ,  $\mathbf{n}_B$  – главные орты веера нормалей

Заметим, что между  $u_{\max}$ , а также ортами  $\mathbf{n}_A$ ,  $\mathbf{n}_B$  и  $\mathbf{\tau}$  существует очевидная связь:  $k \cdot \mathbf{\tau} = (\mathbf{n}_A \times \mathbf{n}_B)$ , где  $k = \pm \sin(u_{\max})$ . Т.е. набор базовых параметров избыточен. И его можно поделить на две части:

**а) основные базовые параметры** – минимальный набор, однозначно определяющий геометрию описываемого объекта; **б) дополнительные параметры**, сокращающие вычисления – их целесообразно найти один раз в начале, чтобы многократно не вычислять через основные параметры. В данном случае, для кромочного излома основные параметры:  $\mathbf{r}$ ,  $\mathbf{n}_A$ ,  $\mathbf{n}_B$  и  $p_R$ ; дополнительные:  $\mathbf{\tau}$ ,  $u_{\max}$  и  $k$ .

Вычисление параметров текущей точки, заданной криволинейной координатой  $u$ :

1. Проверяем, является ли тройка векторов  $\mathbf{n}_A$ ,  $\mathbf{n}_B$  и  $\mathbf{\tau}$  правой (если  $\mathbf{\tau}$  найдено не через  $\mathbf{\tau} = \mathbf{n}_A \times \mathbf{n}_B$ ):

$$p_R = \text{знак}((\mathbf{n}_A \times \mathbf{n}_B) \cdot \mathbf{\tau}) \quad (13)$$

2. Находим вспомогательный вектор  $\mathbf{C}$ , перпендикулярный к  $\mathbf{n}_A$  и лежащий в плоскости веера нормалей (нужен, чтобы искомый вектор  $\mathbf{n}$  орта нормали, спроецировать на два ортогональных базиса:  $\mathbf{n}_A$  и  $\mathbf{C}$ ):  $\mathbf{C} = p_R(\mathbf{\tau} \times \mathbf{n}_A)$

$$\mathbf{n} = \mathbf{n}_A \cos u + \mathbf{C} \sin u \quad (15)$$

Нахождение контактной (формообразующей) точки в изломе:

1. Находим признак  $p_F$  – есть ли в этом месте на ребре формообразующая точка:

$$p_F = \text{если } (\mathbf{V}_{12} \cdot \mathbf{n}_A)(\mathbf{V}_{12} \cdot \mathbf{n}_B) > 0 \text{ то } 0 \text{ иначе } 1 \quad (16)$$

2. При  $p_F = 1$ , формообразующая точка есть, и вычисляем орт нормали в ней:

$$\mathbf{n} = \frac{\Phi \times \mathbf{V}_{12}}{V_{12}}; \quad \mathbf{n} = \text{sign}(\mathbf{n} \cdot (\mathbf{n}_A + \mathbf{n}_B)) \cdot \mathbf{n} \quad (17)$$

*Замечание.* Если  $\mathbf{\tau} \times \mathbf{V}_{12} = 0$  (вектор относительной скорости направлен вдоль ребра), то все точки излома (веера нормалей) являются формообразующими.

Покажем, как найти перечисленные выше основные базовые параметры ( $\mathbf{r}$ ,  $\mathbf{n}_A$ ,  $\mathbf{n}_B$  и  $p_R$ ) для кромочного излома на винтовой поверхности постоянного шага (косозубом колесе, червяке и т.п.). На рисунке 9 приведены параметры винтового кромочного излома:  $R$  – расстояние излома от оси;  $a_z$  – смещение начальной точки;  $\beta$  – угол наклона зуба на ребре излома ( $\beta > 0$  – правый заход);  $\lambda$  – угол наклона "передней грани";  $v_0$  – начальный угол веера нормалей;  $v_K$  – конечный угол веера нормалей.

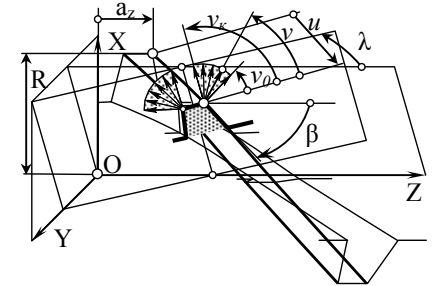


Рисунок 9 – Параметры кромочного излома на винте

Система параметров выбрана так, что:

- задав  $\beta = 0$  и  $\lambda = 90^\circ$ , получим ребро на прямозубом колесе;
- задав  $\beta = 90^\circ$  и  $\lambda = 0$ , получим ребро на теле вращения (шлифовальном круге, дисковой или пальцевой фрезе и т.п.);
- задав  $v_0 \neq 90^\circ$  и  $v_K \neq 90^\circ$ , получим ребро не на поверхности вершин.

Криволинейные координаты на ребре излома:  $v$  – угол лежащий в плоскости, перпендикулярный ребру изломов ( $v_0 \leq v \leq v_K$ ), и  $u$  – линейное расстояние вдоль ребра излома до текущей точки. Уравнение ребра излома и ортов нормалей к нему:

$$\left. \begin{aligned} x &= R \cdot \cos(k \cdot u), & n_x &= \sin v \cdot \cos(k \cdot u) + \cos v \cdot \cos \beta \cdot \sin(k \cdot u); \\ y &= R \cdot \sin(k \cdot u), & n_y &= \sin v \cdot \sin(k \cdot u) - \cos v \cdot \cos \beta \cdot \cos(k \cdot u); \\ z &= a_z + u \cdot \cos \beta, & n_z &= \cos v \cdot \sin \beta. \end{aligned} \right\} \quad (18)$$

Орт  $\mathbf{c}_u$  касательной к ребру излома, т.е. к  $u$ -линии:

$$c_{ux} = -\sin(k \cdot u) \cdot \sin \beta, \quad c_{uy} = \cos(k \cdot u) \cdot \sin \beta, \quad c_{uz} = \cos \beta \quad (19)$$

В уравнениях (18 – 19) коэффициент  $k$  равен:

$$k = \frac{\sin \beta}{R} \quad (20)$$

**6. Формообразование вершинными изломами тел.** На рисунке 10 показан излом поверхности тела в виде трехгранной вершины. В таком изломе имеем:

**а)** три пересекающихся ребра (1,2,3); **б)** три секущих плоскости, каждая из которых, являясь одной из трех граней пучка нормалей, перпендикулярна одному из ребер (обозначения их, соответственно: 1,2,3); **в)** трех ортов нормалей ( $\mathbf{n}_1, \mathbf{n}_2, \mathbf{n}_3$ ) к каждой из граней поверхности излома. Эти три орта нормалей являются одновременно ребрами трехгранного пучка нормалей. Отметим, что направление обхода троек всех элементов рассматриваемого излома (граней, ребер, секущихся плоскостей и ортов нормалей) всегда одинаковое: на рисунке 10 – против часовой стрелки. Из рисунка 10 видно, что вершинный излом поверхности тела, порождая при движении веер нормалей, перпендикулярный вектору относительной скорости, формирует, как правило, кромочный излом.

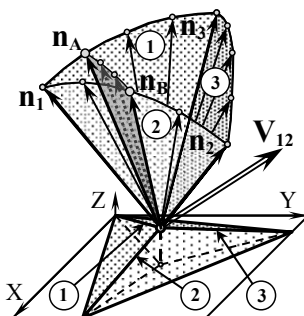


Рисунок 10 – Формирование ребра вершинным изломом:  $\mathbf{n}_1, \mathbf{n}_2, \mathbf{n}_3$  – нормали к граням вершины (пучок нормалей);  $\mathbf{n}_A, \mathbf{n}_B$  – граничные нормали ребра (веер нормалей);  $\mathbf{V}_{12}$  – относительная скорость

Основные базовые параметры вершины: радиус-вектор вершины ( $\mathbf{r}$ ), орты нормалей ( $\mathbf{n}_1, \mathbf{n}_2, \mathbf{n}_3$ ) и признаки выпуклости трех ребер ( $p_{R1}, p_{R2}, p_{R3}$ ). В зависимости от сочетания признаков выпуклости, существует четыре вида изломов в виде трехгранных углов, рождающих пучки нормалей: вершина, порог, изгиб, яма – см. рисунок 11. В задачах формообразования основной вид изломов – вершина (все  $p_R = +1$ ), реже встречается излом, названный порогом (в нем у одного из ребер  $p_R = -1$ ).

Нахождение контактных (формообразующих) точек в угловом изломе. Как и для кромочного излома были получены расчетные уравнения для нахождения контактных нормалей (их здесь не приводим). При выводе уравнений: **а)** введены нормированные криволинейные координаты для задания нормалей в пучке; **б)** применены дополнительные базовые параметры; **в)** проверялись все три граничных веера пучка нормалей на наличие в этих веерах контактных нормалей; **г)** рассмотрены все частные случаи.

Алгоритм нахождения контактного веера нормалей таков:

1. Проверить три веера, ограничивающих пучок нормалей, на наличие в них формообразующих точек – найти признаки формообразования ребер:  $p_{F1}, p_{F2}, p_{F3}$ .
2. Если  $\Sigma p_F = 0$ , то вершина не является формообразующей.
3. Если  $\Sigma p_F = 3$ , то найти формообразующий веер из условия  $\boldsymbol{\tau} \times \mathbf{V}_{12} = \mathbf{0}$ .
4. Если  $\Sigma p_F = 2$ , то найти два орта  $\mathbf{n}_A$  и  $\mathbf{n}_B$  для тех двух вееров, у которых  $p_F = 1$ .
5. Если  $\Sigma p_F = 1$ , то это свидетельствует об ошибке округления (или в программе). Хотя в этом случае можно найти и одну контактную нормаль (она должна быть очень близкой к одному из угловых ортов нормалей  $\{\mathbf{n}_1, \mathbf{n}_2, \mathbf{n}_3\}$ ).

Правило выявления признака  $p_R$  выпуклости ребра, формируемого вершиной: он противоположен признаку  $p_R$  того ребра, на веере нормалей которого нет контактной точки. Например, на рисунке 10  $\mathbf{n}_A$  и  $\mathbf{n}_B$  лежат на веерах ребер №1 и №2, следовательно, для формируемого ребра  $p_R = p_{R3} = -1$ .

И еще одно весьма важное правило: ребра, как огибающие семейства вершин, формируются снаружи тела производящей элемента лишь в том случае, когда обе контактные нормали находятся на веерах выпуклых ребер. Т.е., из четырех видов угловых изломов, представленных на рисунке 11:

- а)** вершина 1 всегда формирует вогнутые ребра снаружи своего тела;  
**б)** порог 2 формирует выпуклое ребро снаружи тела, но только если контактные нормали  $\mathbf{n}_A$  и  $\mathbf{n}_B$  находятся на веерах двух ребер с положительной кривизной;  
**в)** изгиб 3 и яма 4 всегда формируют ребра внутри своего тела.

Находить ребра и другие элементы, формируемые внутри тела производящего элемента, имеет смысл, чтобы получить одну непрерывную огибающую поверхность, из которой проще, чем из отдельных "обрывков" сформировать реальную поверхность: с изломами, срезами и т.д. Это относится к поверхностям, формируемым всеми видами изломов, а также другими производящими элементами.

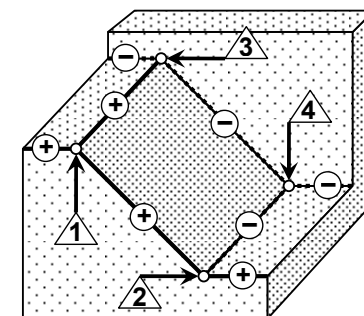


Рисунок 11 – Четыре вида угловых изломов тел:  
 1 – вершина (+++); 2 – порог (++-);  
 3 – изгиб (+-+); 4 – яма (---).  
 В скобках – выпуклость трех ребер:  
 выпуклое ребро (+); вогнутое (-)

**Список литературы:** 1. Гохман Х.И. Теория зацеплений, обобщенная и развитая путем анализа, Дисс... магистра механики. – Одесса, 1886. – 232с. 2. Шишков В.А. Образование поверхностей резанием по методу обкатки. – М.: Машгиз, 1951. – 150с. 3. Колчин Н.И. Аналитические основы дифференциального метода исследования зубчатых зацеплений // Труды семинара по теории машин и механизмов АН СССР. – Вып.64, 1957. 4. Литвин Ф.Л. Теория зубчатых зацеплений. – М.: Наука, 1968. – 584с. 5. Залгаллер В.А. Теория огибающих. М.: Наука, 1975. – 104с. 6. Шевелева Г.И. Теория формообразования и контакта движущихся тел. – М.: Мосстанкин, 1999. – 494с. 7. Несмелов И.П., Гольдфарб В.И. Недифференциальный подход к решению задачи огибания // Механика машин. – Вып.61. – М.: Наука, 1983. – С.3–10. 8. Бабичев Д.Т. О применении многопараметрических огибаний при компьютерном моделировании процессов формообразования в рабочих и технологических зацеплениях // Теория и практика зубчатых передач: Сб. докл. научно-технической конференции с международным участием. – Ижевск, 2004. – С.302–315. 9. Бабичев Д.Т. Развитие теории зацеплений и формообразования поверхностей на основе новых геометрико-кинематических представлений. Дисс... д-ра технич. наук. – Тюмень, 2005. – 421с. 10. Бабичев Д.Т. Основы альтернативной теории формообразования, базирующейся на новых геометрических понятиях // Международная конференция "Техника проводов 03": Секция 1. Теория, расчет и конструирование трансмиссионных элементов. – Болгария, София, 2003. – С.270–275. 11. Родин П.Р. Основы формообразования поверхностей резанием. – Киев: Вища школа, 1977. – 192с.

Поступила в редколлегия 20.05.09